

مدل‌سازی قاب‌های مختلط خمشی RCS و تأثیر رفتار اتصالات بر روی رفتار کلی این قاب‌ها

محمدحسین حبشه‌زاده^۱، محمدرضا چنگلو^{۲*}، کریم عابدی^۳ و حسن افшиان^۲

^۱ دانشجوی دکتری سازه، دانشکده مهندسی عمران، دانشگاه صنعتی سهند

^۲ دانشیار دانشکده مهندسی عمران، دانشگاه صنعتی سهند

^۳ استاد دانشکده مهندسی عمران، دانشگاه صنعتی سهند

چکیده

در این مقاله، مدل‌سازی قاب‌های خمشی مختلط ویژه RCS توصیف گردیده و تأثیر مدل‌سازی رفتار مدل‌سازی اتصالات بر روی رفتار کلی این قاب‌ها مورد بررسی قرار گرفته است. قاب‌های خمشی مختلط ویژه RCS نوع جدیدی از قاب‌های خمشی ویژه هستند که در آن‌ها از ترکیب ستون‌های بتنی و تیرهای فولادی استفاده می‌شود. در این سیستم سازه‌ای، مزیت‌های قاب‌های معمول بتنی و فولادی با هم ترکیب می‌شوند. در نوعی از قاب‌های RCS، تیر فولادی به صورت ممتد از دونوں ستون بتنی عور می‌کند و تمرکز اصلی در طراحی قاب‌های RCS روی اتصال بین تیر فولادی و ستون بتنی (اتصال RCS) می‌باشد که تحقیقات انجام یافته در مورد این سازه‌ها بیشتر بر روی اتصالات مرکب آن‌ها بوده که منجر به تدوین آینه‌نامه‌هایی برای طراحی این اتصالات شده است. در این تحقیق، نحوه مدل‌سازی قاب‌های RCS و همچنین تأثیر مدل‌سازی رفتار اتصال بین تیر فولادی و ستون بتنی، روی رفتار کلی این قاب‌ها به وسیله مقایسه با اتصال RCS، مورد بررسی قرار گرفته است. نتایج کلی این بررسی نشان می‌دهند که مدل‌سازی اتصال RCS، طرفیت جانبی قاب را افزایش می‌دهد.

واژگان کلیدی: قاب‌های خمشی مختلط RCS، تحلیل استاتیکی غیرخطی فراینده، اتصالات RCS، منحنی ظرفیت.

استفاده از فولاد به عنوان عضو خمشی مناسب‌ترین رفتار فولاد را

نتیجه می‌دهد [۱].

قابل‌های خمشی مختلط برای اولین بار در آمریکا، طی اوایل ۱۹۷۰، به عنوان تغییری در قاب‌های خمشی فولادی سنتی اجرا شده تا آن زمان برای ساختمان‌های با ارتفاع متوسط تا بلند معرفی گردید. بعدها در دهه ۱۹۸۰ سیستم‌های مشابهی برای ساختمان‌های با ارتفاع کم در ژاپن توسعه یافت. قاب‌های خمشی مختلط، نوعاً مشابه قاب‌های خمشی فولادی سنتی بوده بجز این که در این نوع قاب‌ها از بتن مسلح با مقاومت بالا به جای ستون فولادی معمولی استفاده می‌گردد. انگیزه اولیه برای استفاده از چنین سیستمی، وجود کاهش ۱۰ درصدی هزینه‌ها در استفاده از مقاومت فشاری بتن در ستون‌های ساختمان‌های فولادی بوده است [۱].

در کشور ژاپن نیز نوعی از سیستم مختلط RCS به عنوان تبدیل سیستم قاب خمشی بتنی در ساختمان‌های کوتاه و اداری و در مناطق با لرزه خیزی بالا مورد استفاده قرار گرفته است. هدف اصلی در این سیستم دستیابی به مزیت استفاده از تیرهای فولادی با دهانه بلند در ساختمان‌های اداری و تجاری کوتاه بوده

۱- مقدمه

قابل‌های خمشی مختلط RCS از نوع قاب‌های ترکیبی با ستون‌های بتنی و تیرهای فولادی هستند که در این سازه‌ها برای ستون‌ها از بتن مسلح و برای تیرها از فولاد استفاده می‌گردد، به گونه‌ای که مزایای صالح استفاده شده، با توجه به خصوصیات بتن و فولاد به فرم کاملاً مؤثری در سیستم‌های سازه‌ای دخالت می‌کنند. به عبارت دیگر از مقاومت فشاری بتن در ستون‌ها و از مقاومت کششی فولاد در تیرها به نحوی استفاده شده است که این استفاده مناسب باعث کاهش سطح مقطع اعضاء سازه می‌گردد. استفاده بهینه از صالح باعث کاهش وزن ساختمان و کاهش هزینه‌های ساخت نیز می‌گردد. در نتیجه با کاهش وزن سازه، نیروی وارد بر پی نیز کاسته شده و در نتیجه سطح مقطع و ضخامت کمتری برای فونداسیون حاصل می‌گردد که از این جهت نیز باعث کاهش هزینه ساخت کل سازه می‌گردد. با توجه به مقاومت فشاری بالای بتن نسبت به مقاومت کششی آن، استفاده از بتن در ستون بهترین رفتار بتن را نتیجه می‌دهد. همچنین با توجه به مقاومت کششی بالای فولاد،

است که منجر به تدوین آیین‌نامه ASCE در سال ۱۹۹۴ برای طراحی اتصال بین تیر فولادی و ستون بتُنی برای نواحی با لرزه خیزی کم و متوسط شده است [۲]. نتایج این تحقیقات نشان می‌دهد که اتصالات RCS مقاومت و سختی بسیار مناسبی از خود نشان می‌دهند [۳-۵].

دو نوع کلی شناخته شده از اتصالات RCS وجود دارند که عبارتند از:

(۱) اتصال با تیر پیوسته^۱ که در این حالت تیر به طور پیوسته از داخل ستون بتُنی عبور می‌نماید. در چنین اتصالی تیر به طور پیوسته از داخل ستون بتُنی عبور نموده و در نتیجه نیاز به قطع تیر در ناحیه اتصال مرتفع می‌گردد. این موضوع باعث عدم استفاده از جوش و یا پیچ در ناحیه حداکثر لنگر خمشی تیر گردیده و به طبع آن باعث جلوگیری از خرابی‌ها و شکست‌های محتمل در این ناحیه، به طوری که در برخی از ساختمان‌ها در زلزله‌های Northridge در سال ۱۹۹۴ و Hanshin ۱۹۹۵ به وجود آمده، خواهد شد. همچنین آرماتورهای طولی ستون نیز از داخل اتصال عبور نموده و در نتیجه وصله آرماتورها می‌تواند در محلی دور از اتصال انجام گیرد. این نوع اتصال تیر ستون می‌تواند در هر دو حالت پیش ساخته و یا اجرا شده در محل، مورد استفاده قرار گیرد. با این حال یکی از چالش‌های مهم تحقیق در خصوص سیستم RCS، ایجاد سیستم اتصال ساده مؤثر انتقال برش و لنگر خمشی بزرگ بین تیرها و ستون‌ها می‌باشد.

(۲) اتصال با ستون پیوسته^۲ به طوری که بال‌های تیر برای جایگذاری آرماتورهای ستون و آسانی بتُنی ریزی ستون، در سطح ستون قطع می‌گردد. در آمریکا فقط از اتصالات تیر پیوسته استفاده می‌گردد، در حالی که در ژاپن از هر دو نوع اتصال توسط شرکت‌های سازنده استفاده به عمل می‌آید.

با تعبیین اشکال مختلف اتصال و مکانیزم انتقال نیرو جزئیات طراحی اتصالات برای نواحی با لرزه‌خیزی بالا نیز به این آیین‌نامه اضافه شده است [۶]. در این مقاله روش مدل‌سازی این قاب‌ها و به خصوص مدل‌سازی اتصالات RCS ارائه شده و همچنین به دلیل این که استفاده مؤثر از مصالح نسبت به سیستم‌های فولادی و بتُنی خالص، امکان ایجاد مقاومت و شکل‌پذیری اتصالات تیر-ستون در سیستم‌های RCS بیشتر از قاب‌های خمشی بتُنی و فولادی متداول می‌باشد. بنابر این، مطالعه تأثیر تغییر شکل‌های اتصال روی رفتار کلی قاب‌های RCS ضروری

است. عمل مختلط تیر فولادی با دال بتُنی با استفاده از برشگیرها، باعث کاهش ارتفاع و وزن سقف و در نتیجه باعث کاهش بارهای مرده وارد بر فونداسیون و کاهش هزینه‌ها خواهد شد.

از دیگر دلایل استفاده از قاب‌های خمشی مختلط RCS، رفتار غیرخطی مصالح و پدیده ایجاد مفصل پلاستیک در این قاب‌ها می‌باشد. در بعضی حالت‌ها در سازه‌های فولادی، ستون فولادی دارای مقطعی به نسبت کوچک‌تر از مقطع تیر می‌باشد (بیشتر در قاب‌ها با دهانه‌های بزرگ)، که در این حالت ستون در برابر نیروی محوری و ممان خمشی انتقال یافته تیر دچار ضعف می‌باشد. علاوه بر این، چنین ستونی در محل اتصال نیز کافی نخواهد بود. چنانچه مشخص است، بر اثر اعمال نیروی جانبی به سازه و چرخش اتصال، عضو ضعیفتر متصل به اتصال در ابتدا دچار مفصل پلاستیک شده و خرابی در آن حاصل می‌گردد. به دلیل اهمیت کمتر تیر نسبت به ستون در یک سازه، ترجیح داده می‌شود مفصل پلاستیک، اول درون تیر تشکیل شود تا تغییر شکل‌های بزرگ به جای ستون‌ها در سیستم سقف به وجود آید که در این صورت احتمال کمتری برای کاهش پایداری کل سازه وجود دارد.

همچنین در اتصالات قاب‌های خمشی مختلط RCS، به علت ممتد بودن تیرهای فلزی، جوشکاری تیر به ستون به حداقل رسیده و به این وسیله از ایجاد نقطه ضعف در سازه جلوگیری می‌شود. علاوه بر این در طبقات با ارتفاع کم مثل پارکینگ‌ها و یا وجود فاصله زیاد بین ستون‌ها، در صورت استفاده از تیر بتُنی، عمق زیادی برای این تیر لازم خواهد بود که این امر برای ایجاد فضای معماری مناسب و انجام فعالیت‌های دیگر ایجاد مشکل خواهد کرد و بنابر این با استفاده از تیر فولادی که دارای رفتار مناسب‌تری در خمش بوده و ارتفاع کمتری دارد، نتیجه مطلوب حاصل می‌گردد [۱]. در این قاب‌ها به دلیل استفاده از ستون بتُنی و وجود تکیه‌گاه گیردار در پای ستون و دارا بودن رفتار صلب‌تر نسبت به ستون فولادی، جابجایی سازه در محدوده مناسب قرار می‌گیرد. همچنین در این قبیل قاب‌ها به دلیل وجود سقف مختلط به جای سقف معمول و تیر بتُنی، به مقدار قابل توجهی از وزن سازه کاسته می‌شود.

از مزیت‌های دیگر این قاب‌ها، توانایی تطبیق یافتن با روش‌های نوین ساخت است که هزینه و زمان ساخت را کاهش می‌دهند. مشکل اساسی در طراحی اعضای قاب‌های خمشی مختلط RCS مشکل اتصال واحد بین تیر فولادی و ستون بتُنی می‌باشد که تمرکز اصلی تحقیقات گذشته روی این اتصالات بوده

1- Through-beam detail

2- Through-column detail

نتایج آزمایشات، که در دو بخش ارائه گردیده، نشان داده‌اند که علاوه بر اقتصادی بودن استفاده از سیستم RCS به دلیل استفاده مؤثر از مصالح نسبت به سیستم‌های فولادی و بتی خالص، امکان ایجاد مقاومت و شکل‌پذیری اتصالات تیر-ستون در سیستم‌های RCS بیشتر از قاب‌های خمشی بتی و فولادی متداول می‌باشد. این آزمایش فرصت‌های بیشتری را برای آزمایش روش‌های پیش ساخته و ارزیابی عملکرد مدل‌های مشابه‌سازی شده ایجاد نموده است. قاب مورد نظر تحت بارگذاری شبیه دینامیکی قرار گرفته بود، که این کار به منظور مشابه‌سازی پاسخ سازه‌ای تحت حرکات زمین متناظر با خطر لرزه‌ای برای ناحیه لرزه‌خیزی بالا با احتمال زلزله٪۰/۵۰ و٪۰/۲ در ۵۰ سال بوده است. در حین آزمایشات شبیه دینامیکی، قاب تحت اثر فشار یکنواخت با تغییر مکان نسبی بین طبقه‌ای در حدود٪۰/۱ قرار گرفته بود [۷].

بر اساس قاب سه طبقه آزمایش شده توسط Shash RCS در سال ۲۰۰۵ و Deierlein و Cordova در سال ۲۰۰۵ مدل اتصال RCS با و بدون در نظر گرفتن دال بتی را مورد آزمایش قرار داده‌اند. نتایج آزمایشات نشان دهنده رفتار شکل‌پذیر اتصال با تشکیل مفصل پلاستیک در ناحیه نزدیک ستون بوده‌اند. در حالت کلی، عملکرد نمونه‌های آزمایش نشان داده است که تیر عرضی و خاموت‌ها در ناحیه چشمۀ اتصال دارای اثرات حاشیه‌ای بر روی انتقال برش در اثر طراحی بر اساس تیر ضعیف و ستون قوی بوده است [۷].

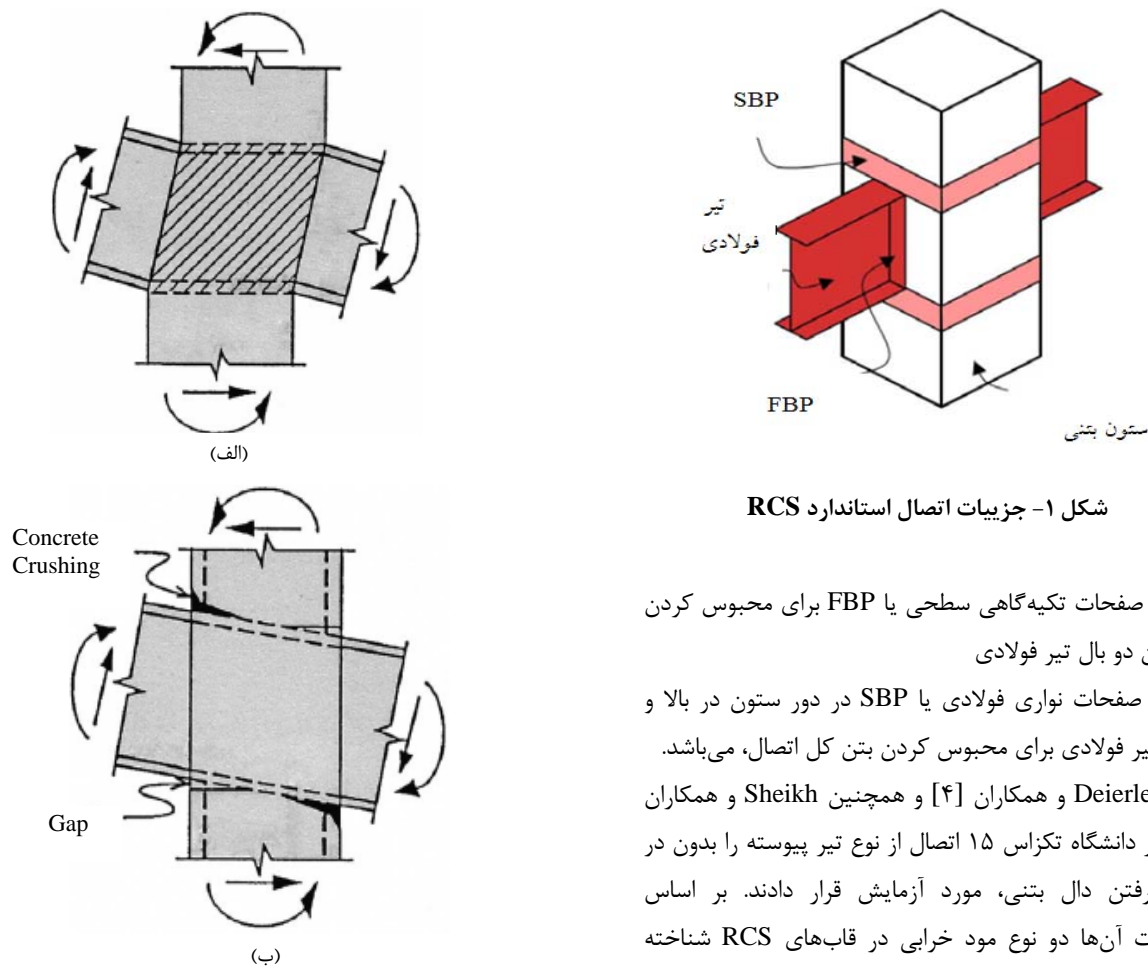
۲- جزیئات اتصال استفاده شده و مکانیزم شکست اتصالات RCS

یکی از بزرگترین مزیت‌های قاب‌های خمشی مختلط RCS، اتصالات تیر به ستون است. در نوع مرسوم این اتصالات تیر فولادی به صورت ممتد از ستون بتی می‌گذرد که نیاز به جوشکاری نداشته و مشکلات ناشی از گسیختگی در اتصالات فولادی را از بین می‌برد. آرماتورهای طولی ستون‌ها نیز از درون اتصال گذشته و در بیرون از اتصال، اجرای وصله انجام می‌شود. آرماتورهای طولی باید طوری قرار داده شود که تیر فولادی بتواند از درون اتصال عبور کند. جزئیات اتصال زیادی برای اتصالات RCS وجود دارد. جزئیات استاندارد اتصال RCS که در این مقاله برای قاب‌های مورد مطالعه استفاده شده در شکل (۱) نشان داده شده است. این اتصال شامل:

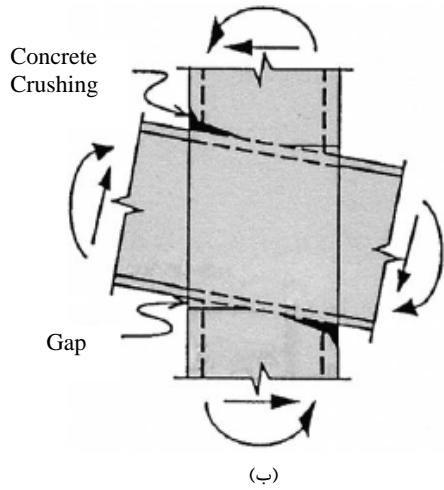
است که با مدل‌سازی در نرم‌افزار Opensees به وسیله مقایسه با حالت بدون مدل‌سازی اتصالات ارزیابی می‌شود.

Kanno [۵] در سال ۱۹۹۳ چندین اتصال را بدون در نظر گرفتن دال بتی تیر مورد آزمایش قرار داده است. در این تحقیق به پیچیدگی مکانیزم انتقال نیروهای داخلی در قاب‌های مختلط با توجه به متفاوت بودن مصالح مورد استفاده در تیرها و ستون‌های این قاب‌ها اشاره گردیده و به ضرورت تحقیق در خصوص مقاومت و تغییر شکل این اتصالات اشاره شده است. این تحقیق نشان دهنده نتایج آزمایشات انجام یافته بر روی رفتار لرزه‌ای اتصالات مختلط می‌باشد که در دانشگاه گُنل انجام گرفته بود. آزمایشات بر روی ۹ نمونه اتصال بین تیر فولادی و ستون بتی در مقیاس بزرگ، که تحت اثر بارگذاری چرخه‌ای معکوس قرار گرفته‌اند، انجام شده بود. هدف از این آزمایشات بررسی مقاومت، تغییر شکل، و مقاومت لرزه‌ای اتصالات، و فراهم‌سازی اطلاعات عددی برای توسعه و ارزیابی معادلات طراحی و راهنمای طراحی بوده است. آزمایشات به طور کمی و کیفی مورد تحلیل قرار گرفته‌اند برای این که بتوان مکانیزم‌های داخلی حاکم بر مقاومت و تغییر شکل ستون را تعیین نموده و همچنین مشخصه‌های مقاومت لرزه‌ای اتصال را روش نمود. یکی از مهمترین نتایج این تحقیق عبارت از این که بار محوری ستون، مقاومت بتن یا نوع جزئیات اتصال مورد استفاده، به طور مستقیم در مقاومت لرزه‌ای اتصال مؤثر نمی‌باشند. تأثیرات اصلی مربوط به مود کلی خرابی و مشارکت نسبی المان داخلی و یا پانل جان فولادی در مقاومت اتصال می‌باشد.

در سال ۲۰۰۲ Chen و Lai از مرکز تحقیقات زلزله تایوان، به همراه Cordova از دانشگاه استانفورد، یک پروژه مشترک بین مرکز ملی تحقیقات مهندسی زلزله در تایوان (NCREE) و دانشگاه استانفورد برای آزمایش یک قاب سه طبقه خمشی RCS با مقیاس واقعی انجام گردید. نمونه آزمایش دارای ۱۲ متر ارتفاع و ۲۱ متر طول در سه طبقه و سه دهانه با قاب خمشی RCS شامل ستون‌های بتی و تیرهای فولادی بوده است. قاب مورد آزمایش بزرگترین قاب آزمایش شده از نوع خود تا آن زمان، که تحت بارگذاری شبیه دینامیکی قرار گرفته، می‌باشد. طراحی اولیه این قاب سه طبقه بر اساس مقررات آیین‌نامه ساختمانی ملی ۲۰۰۰ برای منطقه با لرزه‌خیزی بالا، انجام گرفته بود. در طول آزمایش این قاب تحت اثر بارگذاری شبیه دینامیکی ناشی از رکوردهای زلزله Chi-Chi در سال ۱۹۹۹ و Loma Prieta در سال ۱۹۸۹ قرار گرفته بود [۷].



شکل ۱- جزئیات اتصال استاندارد RCS

شکل ۲- مودهای خرابی در چشممه اتصال داخلی [۷]:
الف) خرابی برشی چشممه اتصال، ب) خرابی قایم تکیه‌گاهی

۳- طراحی و مدل‌سازی

در این مقاله، اتصالات مختلط RCS بر اساس آیین‌نامه اصلاح شده ASCE طراحی شده‌اند [۳]. در قاب‌های RCS، تیرهای خمی فولادی و ستون‌های بتنی طوری طراحی می‌شوند که در قاب‌های خمی فولادی و بتنی قرار دارند. همانند همه قاب‌های خمی ویژه، ستون‌ها در قاب‌های RCS باید طوری طراحی شوند تا معیار تیر ضعیف-ستون قوی (SCWB) باقیار باشد تا قابلیت تشکیل مفصل پلاستیک در ستون بتنی و تشکیل طبقه نرم به حداقل برسد. برای سازه‌های RCS، معیار SCWB به صورت رابطه (۱) پیشنهاد می‌شود [۷]:

$$\frac{\sum M_c}{\sum M_g} \geq 1.0 \quad (1)$$

- ۱) صفحات تکیه‌گاهی سطحی یا FBP برای محبوس کردن بتن بین دو بال تیر فولادی
 - ۲) صفحات نواری فولادی یا SBP در دور ستون در بالا و پایین تیر فولادی برای محبوس کردن بتن کل اتصال، می‌باشد.
- Deierlein و همکاران [۴] و همچنین Sheikh و همکاران [۳]، در دانشگاه تکنیکی ۱۵ اتصال از نوع تیر پیوسته را بدون در نظر گرفتن دال بتنی، مورد آزمایش قرار دادند. بر اساس تحقیقات آن‌ها دو نوع مود خرابی در قاب‌های RCS شناخته شده است:

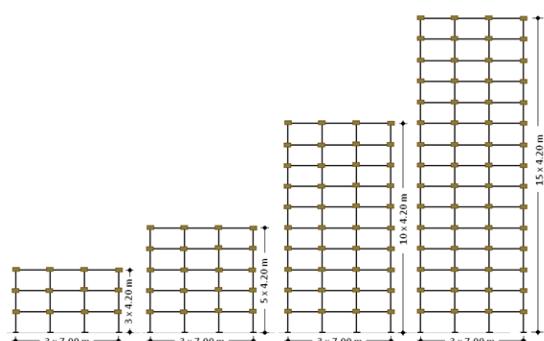
الف) خرابی پانل برشی که این شکست ناشی از شکست برشی است که مشابه رفتار اتصالات سازه‌های بتنی و سازه‌های فولادی است با این تفاوت که تسليم جان فولاد در درون اتصال، همراه با تشکیل ستونکهای (پایه‌های فشاری) بتنی در ناحیه اتصال می‌باشد [۲]. پاسخ پسماند این نوع شکست بیانگر حلقه‌های بزرگ‌تر و نشان‌دهنده استهلاک انرژی بیشتر می‌باشد. جزئیات مکانیزم شکست اتصالات در شکل (۲) نشان داده شده است.

ب) خرابی تکیه‌گاهی قائم که این شکست با چرخش تیر در اتصال، بهدلیل خردشیدگی بتن بالا و پایین اتصال، اتفاق می‌افتد. این خردشیدگی موضعی، باعث ایجاد شکاف‌هایی بین تیر فولادی و ستون بتنی می‌گردد. این شکست، منجر به پاسخ پسماند با حلقه‌های باریک می‌شود.

این دو رفتار به وسیله یک فنر به صورت سری به فنر چرخشی المان اتصال اختصاص می‌یابد تا پاسخ تغییر شکل کلی اتصالات RCS مدل شود. برای طراحی لرزه‌ای اتصالات مرکب، مقاومت خمی اسمی اتصال حداقل باید مساوی با مجموع مقاومت‌های خمی اسمی تیرهای متصل به اتصال باشد، که به عنوان معیار اتصال قوی-تیر ضعیف شناخته می‌شود [۷].

۴- قاب‌های مورد مطالعه

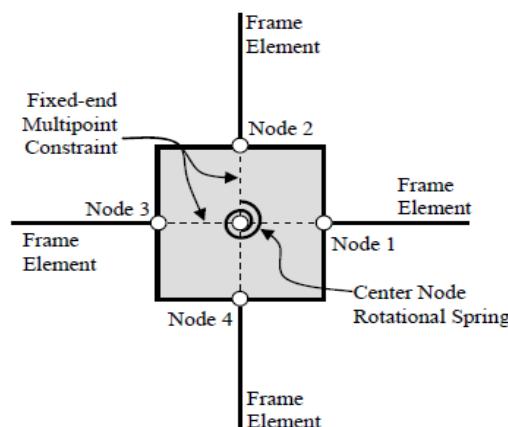
چهار قاب منظم RCS سه، پنج، ده و پانزده طبقه، با سه دهانه ۷ متری به ارتفاع طبقه ۴/۲ متر، مطابق با شکل (۴)، برای منطقه با لرزه‌خیزی بالا طراحی شده‌اند. طراحی لرزه‌ای قاب‌ها بر اساس آیین‌نامه ۲۰۰۶ IBC، با فرض نوع خاک D، می‌باشد. قاب‌های مورد نظر ابتدا در برنامه ETABS V9.5 بدون مدل-سازی اتصالات طراحی شده‌اند و سپس در نرم‌افزار Opensees با اضافه شدن مدل‌سازی اتصال، برای ارزیابی لرزه‌ای، مدل شده‌اند. ستون‌های بتی بتنی بر اساس آیین‌نامه ACI 318-05 (2005) و AISC-LRFD (2005) بر اساس آیین‌نامه (2005) تیرهای فولادی بر اساس SCWB که معیار طراحی شده‌اند. در طراحی قاب‌ها، معیار p-Δ مربوط به اثراي قاب اثراي p-Δ مربوط به اعضای ستون و نيز اثراي p-Δ مربوط به رفتار کلي قاب اعمال گردیده است. در اين تحقيق، ستون‌های بتن مسلح با استفاده از مقاطع فييري انعطاف‌پذير مدل‌سازی گردیده‌اند. مقطع فييري ستون‌های بتن مسلح بر اساس سه نوع مصالحتعريف می‌گردد که شامل بتن محصور شده، بتن محصور نشده و آرماتورهای مسلح کننده فولادی می‌باشد.



شکل ۴- ابعاد قاب‌های طراحی شده RCS

که برابر با نسبت مجموع مقاومت‌های خمی اسمی ستون‌های متصل به اتصال به مجموع مقاومت‌های پلاستیک مورد انتظار تیرهای متصل به اتصال است. مدل‌های مصالح مختلفی در OpenSees وجود دارد. سه مدلی که برای مدل‌سازی قاب RCS به کار رفته عبارتند از مدل پسماند فولادی برای مدل‌سازی تیرهای فولادی، مدل پسماند بتی برای مدل‌سازی ستون‌های بتی و مدل پسماند سه خطی برای مدل‌سازی رفتار اتصال مختلط. حالت‌های مختلفی در OpenSees برای نشان دادن رفتار غیرخطی المان‌های تیر-ستون وجود دارد. یکی از آن‌ها المان انعطاف‌پذیری است که قابلیت جذب پلاستیسیته گستره‌ده با مقاطع فیبری در تعدادی نقاط انتگرال‌گیری در طول عضو را دارد. این المان انعطاف‌پذیر در OpenSees به عنوان NonlinearBeamColumn شناخته می‌شود.

اتصال مختلط در Opensees با استفاده از المان اتصال دو بعدی (ElementJoint2D) (شکل (۳)) مدل می‌شود که قادر به در نظر گرفتن اثرات محدود ابعاد اتصال (عمق تیر و پهنای ستون) و تغییر شکل‌های آن می‌باشد. برای مدل‌سازی دقیق رفتار اتصالات مختلط RCS، فنر داخلی اتصال باید هر دو تغییر شکل شکست تکیه‌گاهی قائم و شکست برشی را نشان دهد. شکست برشی دارای خصوصیاتی مشابه با مدل مصالح Steel02 می‌باشد. این مکانیزم که شامل تسلیم جان تیر فولادی و توسعه ستونک‌های بتی قدری است، دارای رفتار حلقه‌های پسماند گستره‌ده و پایدار است. شکست تکیه‌گاهی، پاسخ پسماند باریک-تری نشان داده و شامل خردشگی موضعی بتن و پیدایش شکاف‌هایی در بالا و پایین بال‌های تیر فولادی می‌شود. برای مدل‌سازی این مکانیزم، مدل مصالح Hysteretic استفاده می‌شود.

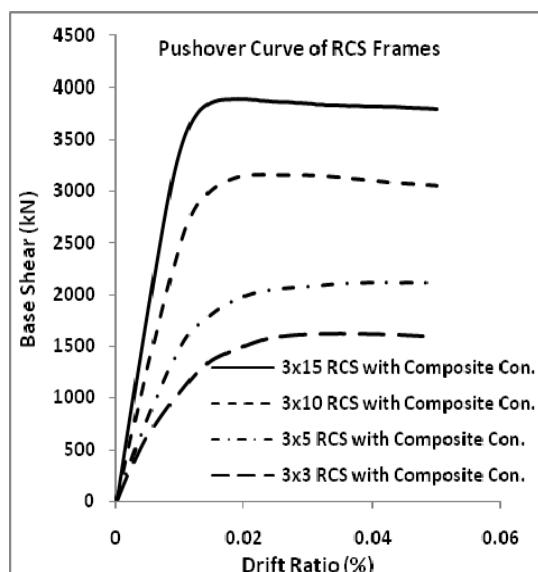


شکل ۳- المان استفاده شده برای اتصال RCS [۷]

- ضریب اهمیت اشغال: $I=1$
- شتاب طیفی متناظر با پریود $T_s = 1.5$ s
- شتاب طیفی متناظر با پریود $1 \text{ ثانیه} = S_1 = 0.6$ s
- طبقه طراحی لرزه‌ای: D_{max}
- نوع خاک بستر: D

برای اطمینان از مدل‌سازی‌های غیرخطی انجام شده توسط نرم‌افزار OpenSees و انجام تحلیل‌های غیرخطی استاتیکی، می‌بایست صحت‌سنگی لازم انجام گیرد. برای صحت‌سنگی، از مدل آزمایشگاهی قاب خمی مختلط سه طبقه سه دهانه مورد آزمایش توسط Cordova و Deierlein استفاده شده است. با مقایسه منحنی‌های به دست آمده با نتایج آزمایش، مطابقت خوبی بین نتایج آزمایش و مدل‌سازی غیرخطی انجام شده توسط نرم‌افزار OpenSees مشاهده گردیده است.

رفتار قاب‌ها با استفاده از روش تحلیل استاتیکی غیر خطی فزاینده^۱ ارزیابی می‌شود. در این روش، بار جانبی ناشی از زلزله، استاتیکی و به تدریج به صورت فزاینده به سازه اعمال می‌شود تا آن‌جا که تغییر مکان در یک نقطه خاص (نقطه کنترل) تحت اثر بار جانبی (مرکز جرم بام)، به مقدار مشخصی به نام تغییر مکان هدف برسد و یا سازه فرو ریزد. نتایج تحلیل استاتیکی غیرخطی فزاینده برای قاب‌های مورد مطالعه، بر اساس توزیع بار جانبی بر مبنای شکل مود اول جانبی قاب‌ها، در شکل (۵) نشان داده شده است.



شکل ۵- منحنی ظرفیت قاب‌های طراحی شده RCS

بتن پوشش، که در خارج آرماتورهای برشی (خاموت‌ها) قرار دارد، به صورت محصور نشده در نظر گرفته می‌شود و پس از رسیدن به مقاومت خردشگی سریعاً شروع به خرد شدن می‌نماید. بتن هسته در تمامی جهات توسط آرماتورهای طولی و برشی محصور شده خواهد بود و در حالت شکل‌بندی‌بری بیشتر قرار خواهد گرفت. نواحی محصور شده و محصور نشده هر دو توسط صالح بتن Concrete02 در OpenSees مدل گردیده‌اند. برای صالح بتنی مورد استفاده در مدل‌ها، از بتن با مقاومت فشاری ۲۸ روزه معادل ۲۸ مگاپاسکال استفاده شده است. فولاد مورد استفاده در آرماتورهای بتن مسلح دارای حد تنفس تسلیم معادل ۴۰۰ مگاپاسکال و حد تنفس نهایی ۵۶۰ مگاپاسکال می‌باشد.

قطعه فیبری مورد استفاده برای تیرهای فولادی I شکل، شامل صالح فولادی می‌باشد. صالح فولادی تیر و همچنین آرماتور، در OpenSees توسط مدل صالح Steel02 مدل‌سازی گردیده است. مقاومت تسلیم صالح فولاد یا بایستی از طریق مقادیر اندازه‌گیری شده از یک آزمایش کشش یا به عنوان مقاومت تسلیم مورد انتظار، R_y ، به دست آمده باشد. پارامتر R_y توسط توصیه‌های لرزه‌ای (AISC 2005) به عنوان نسبت مقاومت تسلیم مورد انتظار به مقاومت تسلیم اسمی تعريف گردیده و برای فولاد تیپ رد ۵۰ ($F_y = 345 \text{ MPa}$) برابر ۱/۱ در نظر گرفته شده است. برای صالح فولادی تیرها با توجه به زیاد بودن دهانه تیرها و درجه ارتفاع، از فولاد St-52 به عنوان صالح اصلی در تیرهای فولادی استفاده گردیده است. این فولاد دارای حد تنفس تسلیم معادل ۳۶۰ مگاپاسکال و حد تنفس نهایی ۵۲۰ مگاپاسکال می‌باشد.

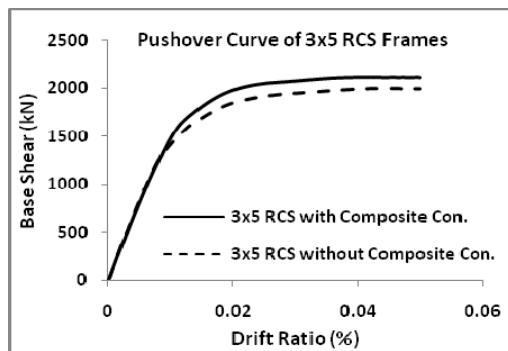
پلان و بافتار اولیه انتخاب شده برای مدل‌های سازه‌ای طوری انتخاب گردیده‌اند که در برگیرنده اکثر مشخصه‌های کلی و پریدهای متفاوت سیستم قاب خمی مورد مطالعه باشند.

همچنین قاب‌ها بایستی دارای مشخصات زیر باشند:
 (الف) قاب‌ها در محدوده قاب‌های ساختمانی متعارف و معمول باشند؛

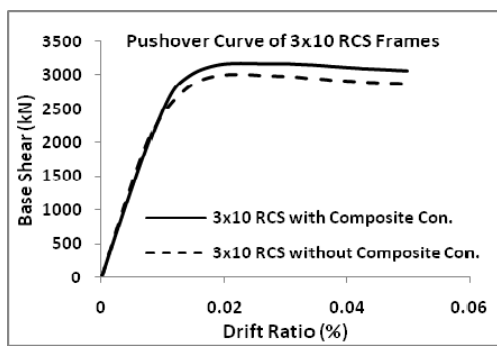
(ب) قاب‌ها محدوده گسترهای از درجات نامعینی استاتیکی (N_{st}) را پوشش دهند؛

(ج) مطابق با توصیه FEMA P695، پریود سیستم‌های سازه‌ای انتخاب شده در محدوده بیشتر از T_s و کمتر از ۴ ثانیه می‌باشد؛ همچنین مشخصات کامل لرزه‌ای به صورت زیر در مدل‌ها اعمال گردیده است:

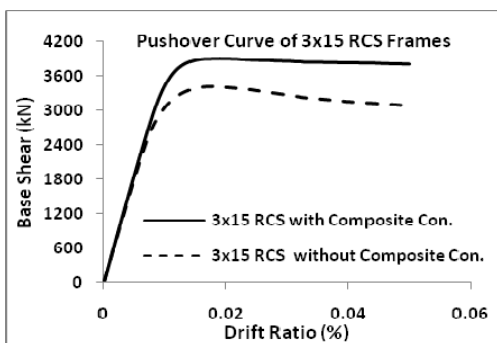
$$\bullet \text{ ضریب رفتار: } R = 8$$



شکل ۷- اثر تغییر شکل اتصال برای قاب ۵ طبقه



شکل ۸- اثر تغییر شکل اتصال برای قاب ۱۰ طبقه



شکل ۹- اثر تغییر شکل اتصال برای قاب ۱۵ طبقه

در ستون آخر جدول (۲) درصد افزایش برش پایه قابل تحمل توسط قاب با در نظر گرفتن مدل‌سازی اتصال محاسبه گردیده است.

بر اساس این جدول مشاهده می‌گردد درصد افزایش ظرفیت جانبی قاب‌های خمی مختلط RCS با در نظر گرفتن مدل‌سازی چشمۀ اتصال حداقل و حداکثر به ترتیب حدود ۰.۵٪ (برای قاب ۱۰ طبقه) و ۰.۱۲٪ (برای قاب ۱۵ طبقه) خواهد بود. این جدول نشان می‌دهد که مدل‌سازی اتصال مختلط RCS در پیش‌بینی افزایش ظرفیت باربری جانبی این قاب‌ها که در واقعیت و در عمل وجود خواهد داشت، نقش اساسی داشته و

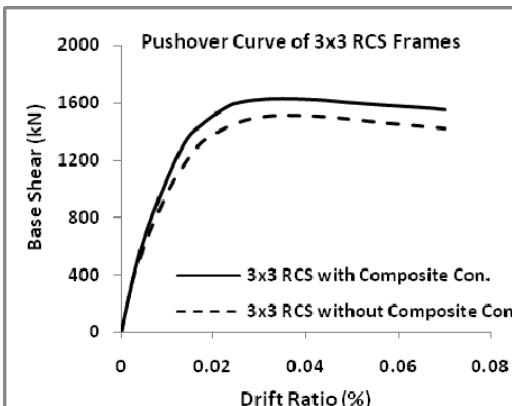
-۵- اثر تغییر شکل اتصال روی رفتار کلی قاب‌ها

به منظور بررسی اثرات تغییر شکل‌های اتصال روی رفتار لرزه‌ای این قاب‌ها، چهار قاب اشاره شده، بدون مدل‌سازی اتصالات مدل شده‌اند و با نتایج قاب‌های شامل اتصال RCS مطابق با شکل (۳)، مقایسه شده‌اند. نتایج مقایسه تحلیل غیرخطی استاتیکی فزاینده انجام شده و منحنی ظرفیت آن‌ها و اثر رفتار اتصال روی آن در شکل‌های (۶) تا (۹) نشان داده شده است.

همان‌طور که ملاحظه می‌شود، قاب‌های RCS با در نظر گرفتن مدل اتصال، دارای ظرفیت جانبی بالاتری نسبت به قاب‌های RCS بدون مدل‌سازی اتصالات بوده و با افزایش تعداد طبقات، اختلاف بین ظرفیت نیز بیشتر می‌شود. قاب‌های بدون مدل اتصالات، در انتقال از قسمت الاستیک به غیرالاستیک، دارای منحنی تیزتری بوده و سختی اولیه آن‌ها نیز بیشتر است. مقایسه زمان تناوب اصلی قاب‌ها در جدول (۱) نشان داده شده است. علی‌رغم اختلاف کم در زمان تناوب اصلی، اثر اتصال روی پاسخ‌سازه قابل ملاحظه است. با توجه به شکل‌های (۶) الی (۹)، در جدول (۲) مقادیر حداکثر برش پایه قابل تحمل توسط قاب‌های مدل‌سازی شده در دو حالت با و بدون مدل‌سازی ناحیه اتصال قاب خمی مختلط RCS نشان داده شده است.

جدول ۱- مقایسه زمان تناوب اصلی قاب‌ها

| زمان تناوب اصلی (ثانیه) | تعداد طبقه | |
|-------------------------|------------|----|
| بدون مدل اتصال | RCS | |
| ۰/۷۸ | ۰/۸۲ | ۳ |
| ۱/۲۲ | ۱/۲۶ | ۵ |
| ۱/۸۸ | ۱/۹۵ | ۱۰ |
| ۲/۴۳ | ۲/۴۹ | ۱۵ |



شکل ۶- اثر تغییر شکل اتصال برای قاب ۳ طبقه

جدول ۵- مقایسه حداکثر دوران‌های پلاستیک قاب ۱۰ طبقه

| تغییرات دوران پلاستیک | | بدون مدل‌سازی اتصال | | RCS اتصال | | طبقه |
|-----------------------|-------|---------------------|--------|-----------|--------|------|
| ستون | تیر | ستون | تیر | ستون | تیر | |
| %۸/۱۷ | %۲/۲۲ | ۰/۰۰۹۲ | ۰/۰۰۸۱ | ۰/۰۱۰۸ | ۰/۰۰۶۳ | ۱ |
| %۲/۲۲ | %۷/۲۲ | ۰/۰۰۴۹ | ۰/۰۰۸۴ | ۰/۰۰۳۴ | ۰/۰۰۶۵ | ۲ |
| %۵/۲۲ | %۴/۱۹ | ۰/۰۰۳۵ | ۰/۰۰۸۹ | ۰/۰۰۲۸ | ۰/۰۰۷۱ | ۳ |
| %۷/۱۶ | %۹/۱۹ | ۰/۰۰۲۸ | ۰/۰۰۹۲ | ۰/۰۰۲۳ | ۰/۰۰۷۴ | ۴ |
| %۳/۱۷ | %۱/۱۴ | ۰/۰۰۲۲ | ۰/۰۰۹۳ | ۰/۰۰۲۰ | ۰/۰۰۸۰ | ۵ |
| %۴/۱۸ | %۶/۲۱ | ۰/۰۰۲۱ | ۰/۰۰۹۵ | ۰/۰۰۱۸ | ۰/۰۰۷۵ | ۶ |
| %۹/۱۶ | %۶/۲۰ | ۰/۰۰۱۶ | ۰/۰۱۰۶ | ۰/۰۰۱۶ | ۰/۰۰۸۴ | ۷ |
| %۵/۲۲ | %۱/۱۷ | ۰/۰۰۲۴ | ۰/۰۱۱۰ | ۰/۰۰۱۹ | ۰/۰۰۹۱ | ۸ |
| %۷/۱۶ | %۸/۱۵ | ۰/۰۰۲۶ | ۰/۰۱۲۱ | ۰/۰۰۲۲ | ۰/۰۱۰۲ | ۹ |
| %۳/۱۷ | %۹/۱۴ | ۰/۰۰۲۴ | ۰/۰۱۳۰ | ۰/۰۰۲۲ | ۰/۰۱۱۰ | ۱۰ |

جدول ۶- مقایسه حداکثر دوران‌های پلاستیک قاب ۱۵ طبقه

| تغییرات دوران پلاستیک | | بدون مدل‌سازی اتصال | | RCS اتصال | | طبقه |
|-----------------------|-------|---------------------|--------|-----------|--------|------|
| ستون | تیر | ستون | تیر | ستون | تیر | |
| -%۷/۱۷ | %۳/۲۲ | ۰/۰۰۷۶ | ۰/۰۰۶۷ | ۰/۰۰۸۹ | ۰/۰۰۲۵ | ۱ |
| %۳/۲۲ | %۸/۲۲ | ۰/۰۰۳۶ | ۰/۰۰۷۰ | ۰/۰۰۲۸ | ۰/۰۰۵۴ | ۲ |
| %۰/۱۸ | %۴/۱۹ | ۰/۰۰۲۹ | ۰/۰۰۷۳ | ۰/۰۰۲۳ | ۰/۰۰۵۹ | ۳ |
| %۸/۷۱ | %۰/۲۰ | ۰/۰۰۲۳ | ۰/۰۰۷۶ | ۰/۰۰۱۹ | ۰/۰۰۶۱ | ۴ |
| %۷/۷ | %۲/۱۴ | ۰/۰۰۱۸ | ۰/۰۰۷۷ | ۰/۰۰۱۶ | ۰/۰۰۶۶ | ۵ |
| %۱/۱۳ | %۶/۲۱ | ۰/۰۰۱۷ | ۰/۰۰۷۹ | ۰/۰۰۱۵ | ۰/۰۰۶۲ | ۶ |
| %۹/۲ | %۷/۲۰ | ۰/۰۰۱۳ | ۰/۰۰۸۷ | ۰/۰۰۱۳ | ۰/۰۰۶۹ | ۷ |
| %۵/۲۰ | %۱/۱۷ | ۰/۰۰۲۰ | ۰/۰۰۹۱ | ۰/۰۰۱۶ | ۰/۰۰۷۵ | ۸ |
| %۰/۱۵ | %۹/۱۵ | ۰/۰۰۲۱ | ۰/۰۱۰۰ | ۰/۰۰۱۸ | ۰/۰۰۸۴ | ۹ |
| %۳/۷ | %۰/۱۵ | ۰/۰۰۲۰ | ۰/۰۱۰۷ | ۰/۰۰۱۸ | ۰/۰۰۹۱ | ۱۰ |
| %۱/۱۳ | %۶/۲۱ | ۰/۰۰۲۵ | ۰/۰۱۱۸ | ۰/۰۰۲۲ | ۰/۰۰۹۲ | ۱۱ |
| %۷/۱۶ | %۷/۲۰ | ۰/۰۰۲۳ | ۰/۰۱۳۱ | ۰/۰۰۲۰ | ۰/۰۱۰۴ | ۱۲ |
| %۵/۲۰ | %۱/۱۷ | ۰/۰۰۲۹ | ۰/۰۱۳۷ | ۰/۰۰۲۳ | ۰/۰۱۱۳ | ۱۳ |
| %۰/۱۵ | %۹/۱۵ | ۰/۰۰۳۲ | ۰/۰۱۵۰ | ۰/۰۰۲۷ | ۰/۰۱۲۶ | ۱۴ |
| %۳/۷ | %۰/۱۵ | ۰/۰۰۲۹ | ۰/۰۱۶۱ | ۰/۰۰۲۷ | ۰/۰۱۳۷ | ۱۵ |

با کاهش حداکثر دوران‌های پلاستیک در اعضای تیر و ستون قاب خمی می‌باشد. انتظار می‌رود که تغییر مکان‌های نسبی طبقات برای یک بار جانبی مشخص نسبت به قاب خمی مختلط بدون مدل‌سازی اتصال افزایش داشته باشد. برای بررسی این موضوع و اثر رفتار اتصال روی تغییر مکان نسبی طبقات، رکورد زلزله Loma Prieta انتخاب و به سطح خطر ۱ (احتمال وقوع ۱۰٪ در ۵۰ سال) مقیاس شده است. مقایسه تغییر مکان نسبی طبقات، در شکل (۱۰) برای قاب خمی مختلط ۱۵ طبقه نشان داده شده است.

برای تخمین رفتار مناسب این قاب‌ها بایستی مدل‌سازی ناحیه اتصال به نحو مقتضی در نظر گرفته شود.

جدول ۲- مقایسه حداکثر برش پایه قابل تحمل توسط قاب‌ها با و بدون مدل‌سازی اتصال

| درصد افزایش | بدون مدل‌سازی اتصال | RCS اتصال | طبقه |
|-------------|---------------------|-----------|------|
| %۶/۹۸ | ۱۵۱۲/۶ | ۱۶۲۶/۱ | ۳ |
| %۵/۵۹ | ۱۹۹۶/۳ | ۲۱۱۴/۵ | ۵ |
| %۴/۸۰ | ۳۰۱۲/۷ | ۳۱۶۴/۶ | ۱۰ |
| %۱۲/۱۹ | ۳۴۲۴/۴ | ۳۸۹۹/۷ | ۱۵ |

دوران‌های پلاستیک حداکثر و تغییرات آن‌ها به ازای جابجایی یکسان (تغییر مکان نسبی کلی حدود ۱/۵٪ در طبقه بام) برای قاب‌های RCS، در جداول (۳) تا (۶) مقایسه شده‌اند. در این جداول دوران پلاستیک در تیرها و ستون‌ها معادل با حداکثر مقدار به دست آمده در دو انتهای عضو در نظر گرفته شده است. همان‌طور که ملاحظه می‌شود، در حالت که مدل‌سازی اتصال در نظر گرفته می‌شود، علیرغم افزایش دوران پلاستیک در تکیه‌گاه‌ها، در سایر طبقات، دوران‌های پلاستیک کاهش می‌یابد. به عبارت دیگر، در حالت کلی به دلیل رفتار اتصال RCS، دوران‌های تیرها و ستون‌ها کاهش یافته و شکل پذیری و مقاومت تسlijm قاب‌ها افزایش می‌یابد.

جدول ۳- مقایسه حداکثر دوران‌های پلاستیک قاب ۳ طبقه

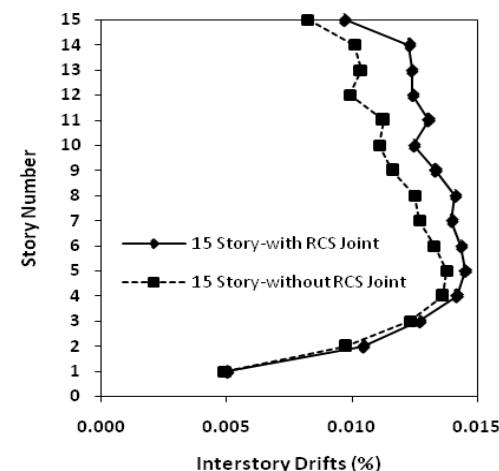
| تغییرات دوران پلاستیک | بدون مدل‌سازی اتصال | RCS اتصال | طبقه |
|-----------------------|---------------------|-----------|-------|
| ستون | تیر | ستون | تیر |
| -%۲/۱۶ | %۷/۱۶ | ۰/۰۱۰ | ۰/۰۱۳ |
| %۱/۲۵ | %۱/۱۴ | ۰/۰۰۷ | ۰/۰۱۳ |
| %۲/۲۲ | %۱/۱۶ | ۰/۰۰۵ | ۰/۰۱۴ |

جدول ۴- مقایسه حداکثر دوران‌های پلاستیک قاب ۵ طبقه

| تغییرات دوران پلاستیک | بدون مدل‌سازی اتصال | RCS اتصال | طبقه |
|-----------------------|---------------------|-----------|-------|
| ستون | تیر | ستون | تیر |
| -%۱/۱۶ | %۴/۱۸ | ۰/۰۰۸ | ۰/۰۰۹ |
| %۵/۱۸ | %۹/۱۶ | ۰/۰۰۷ | ۰/۰۱۲ |
| %۴/۲۱ | %۵/۲۲ | ۰/۰۱۰ | ۰/۰۱۵ |
| %۷/۲۰ | %۷/۱۶ | ۰/۰۰۷ | ۰/۰۱۱ |
| %۱/۲۴ | %۳/۱۷ | ۰/۰۰۴ | ۰/۰۱۰ |

های پلاستیک و افزایش تغییر مکان نسبی طبقات شده که اثرات آن قابل ملاحظه بوده و نقش مهمی در رفتار قاب دارد. این موضوع بیانگر انعطاف‌پذیری و شکل‌پذیری اتصالات RCS نسبت به اتصالات معمولی است.

- با توجه به سه نتیجه فوق، رفتار لرزه‌ای قاب‌های خمشی مختلط ویژه RCS متأثر از رفتار اتصالات آن‌ها است. تغییر شکل‌های ناشی از اتصال روی رفتار کلی قاب قابل ملاحظه بوده و قابل چشم‌پوشی نمی‌باشد. بنابر این در صورت چشم‌پوشی رفتار اتصال RCS در مدل‌سازی قاب، طرح قاب غیر اقتصادی خواهد بود.



شکل ۱۰- اثر رفتار اتصال روی تغییر مکان نسبی، قاب ۱۵ طبقه

- [1] Griffis, L. G., "Some Design Considerations for Composite-Frame Structures", AISC Engineering Journal, 1986, (2), 59-64.
- [2] ASCE Task Committee on Design Criteria for Composite Structures in Steel and Concrete, "Guidelines for Design of Joints between Steel Beams and Reinforced Concrete Columns", Journal of Structural Engineering, 1994, 120 (8), 2330-2357.
- [3] Sheikh, T. M., Yura, J. A., Jirsa, J. O., "Moment Connections between Steel Beams and Concrete Columns", PMFSEL Report No. 87-4, University of Texas at Austin, Austin, US, 1988.
- [4] Deierlein, G. G., Yura, J. A.; Jirsa, J. O., "Design of Moment Connections for Composite Framed Structures", 1988, PMFSEL Report No. 88-1, University of Texas at Austin, Austin, Tex.
- [5] Kanno, R., "Strength, Deformation, and Seismic Resistance of Joints between Steel Beams and Reinforced Concrete Columns", PhD thesis, Cornell University, US, 1993.
- [6] Parra-Montesinos, G., Wight, J. K., "Modeling Shear Behavior of Hybrid RCS Beam-Column Connections", Journal of Structural Engineering, 2001, 127 (1), 1-3.
- [7] Cordova, P. P., Deierlein, G. G., "Validation of the Seismic Performance of Composite RCS Frames: Full-Scale Testing, Analytical Modeling, and Seismic Design", PhD thesis, Department of Civil and Environmental Engineering, Stanford University, US, 2005.

همان‌طور که ملاحظه می‌شود، تغییر مکان نسبی طبقات با در نظر گرفتن تغییر شکل اتصال RCS افزایش می‌یابد. در قاب ۱۵ طبقه، حداکثر افزایش تغییر مکان نسبی برای قاب با اتصالات بدون مدل‌سازی و با مدل‌سازی اتصال در حدود ۲۰٪ می‌باشد. در نتیجه تغییر شکل‌های مربوط به رفتار اتصال، باعث افزایش تغییر مکان نسبی طبقات شده و اثرات آن قابل ملاحظه بوده و نقش مهمی در رفتار قاب دارد.

۶- نتیجه‌گیری

با توجه به تحقیقات گذشته، قاب‌های خمشی مختلط ویژه RCS مانند قاب‌های بتونی و فولادی معمول دارای رفتار لرزه‌ای مناسبی در مناطق با لرزه خیزی متوسط تا زیاد می‌باشند. با تحقیق انجام شده در این مقاله نتایج زیر در خصوص مدل‌سازی قاب‌های خمشی مختلط RCS و تأثیر مدل‌سازی اتصال در مدل‌های کلی قاب، قابل اشاره می‌باشند:

- برای مدل‌سازی قاب‌های خمشی مختلط RCS، بایستی با استفاده از یک نرم‌افزار مناسب و قابل اعتماد نسبت به مدل‌سازی ناحیه اتصال مختلط اقدام گردد.
- مدل قاب‌های خمشی مختلط RCS با مدل‌سازی ناحیه اتصال، دارای ظرفیت جانبی بالاتری نسبت به قاب‌های RCS با اتصالات بدون مدل‌سازی اتصال بوده و رفتار اتصال RCS شکل‌پذیری و مقاومت تسلیم قاب‌ها را افزایش می‌دهد.
- تغییر شکل‌های مربوط به رفتار اتصال، باعث کاهش دوران-

EXTENDED ABSTRACT

Numerical Modeling of RCS Frames and Effect of Joint Behavior on the Overall Response

M. Hossein Habashizadeh Asl, M. Reza Chenaghlu, Karim Abedi, Hassan Afshin

Civil Engineering Faculty, Sahand University of Technology, Tabriz, Iran

Received: 24 February 2013; **Accepted:** 09 September 2013

Keywords:

RCS composite moment frames, Non-linear static analysis, RCS joints, Capacity curve

1. Introduction

Composite Reinforced Concrete-Steel (RCS) frames which consist of Reinforced Concrete (RC) columns and Steel (S) beams were represented to combine the advantages of pure RC and steel frames. This system permits the primary steel beam to run continuous through the reinforced concrete column. A primary challenge in design of RCS frames was the connection between steel beam and RC column [1]. The results of experimental studies have shown that RCS joints have excellent strength and stiffness [2]. In the present paper, modeling of RCS moment frames and influence of RCS joint behavior on the overall response of these frames are investigated through nonlinear static analysis (Pushover) by comparing with RCS frames without including the modeling of joint behavior. It is concluded that the RCS joints behavior increases lateral load capacity of RCS frames.

2. Methodology

2.1. Verification of analysis

In 2002, a full-scale three-story three-bay composite RCS frame, was conducted in the NCREE laboratory in Taipei, through international collaboration between researchers in Taiwan and the United States, in order to provide a unique data set to validate both computer simulation and seismic design for RCS frames. The models used to simulate the test through inelastic time history analyses were conducted with OpenSees and simulation results were compared to the measured frame response [3]. In order to verify analysis results of this study, Cordova's method was accepted and the mentioned test frame was modeled in OpenSees in order to compare results with Cordova's simulation. Good agreement was obtained between results.

2.2. RCS frames modeling

In this paper, composite RCS joints have been designed using updated ASCE Guidelines [3]. The joint detail shown in Fig. 1 is used for composite joints. The joint detail shown in Fig. 1, is a standard detail for RCS connections and consists of: (1) Face Bearing Plates (FBP) used to mobilize the concrete regions between the beam flanges; (2) two-part U-shaped stirrups passing through holes in the steel web panel; (3) Steel Band Plates (SBP) wrapping around the column regions just above and below the steel beam. The joints are represented with an OpenSees joint2D element that is able to model the finite size and joint kinematics. The deformations and failure mechanisms of the composite joint are represented by two material springs in series. Joint panel shear is governed by very fat hysteretic loops and modeled with steel material model in OpenSees. The joint bearing deformation exhibits a lot of pinching and is modeled using a hysteretic material model. The reinforced concrete columns and the steel beams are designed following provisions for members in RC or steel frames.

* Corresponding Author

E-mail addresses: m_habashi@sut.ac.ir (M. Hossein Habashizadeh), mrchenaghlu@sut.ac.ir (M. Reza Chenaghlu), K_abedi@sut.ac.ir (Karim Abedi), hafshin@sut.ac.ir (Hassan Afshin).

2.3. Case study frames

Four regular RCS frames with three bays are considered which their bay length is 7 m and story height is 4.2 m. The frames are designed for a highly seismic region. The seismic design of frames followed the International Building Code 2006 (IBC, 2006), assuming the frames are located in site class D and stiff soil, with mapped spectral accelerations of $S_s = 1.5g$ and $S_1 = 0.6g$ for 5% damping ratio. The frames are assigned to seismic group I and seismic design category D. The response modification factor for RCS frames is considered R=8, based on IBC 2006 for special moment frames. Columns are designed based on ACI 318-05 Code (ACI 2005) while beams are designed based on AISC-LRFD (AISC-LRFD 2005). The frames are predesigned using the program ETABS considering that the joints are modeled without the effects of RCS joint behavior. Once the frames are designed, they are modeled with OpenSees including joint behavior to evaluate their seismic response.

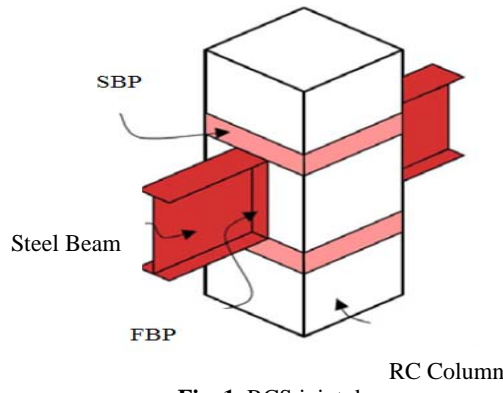


Fig. 1. RCS joint de

3. Results and discussion

3.1. Nonlinear static analysis

Responses of frames are evaluated based on nonlinear static analysis (Pushover). Analysis is carried out for each frame using first modal load pattern and capacity curves are shown in Fig. 2.

3.2. Effect of RCS joint Behavior on the overall response

In order to evaluate the effect of joints deformations on the seismic behavior of RCS frames, the RCS frames are modeled without considering the effect of RCS joint behavior. Pushover analysis is performed and capacity curves of frames are compared to RCS frames including the modeling of composite joints. The results are depicted in Figs. 3-6. As can be observed, RCS frames show higher lateral capacity than frames without modeling of RCS joints, and as the number of story increases, the difference between lateral capacities also increases. Frames in which the modeling of RCS joints is not considered have sharper elastic-to-inelastic transition curves and steeper response in elastic range.

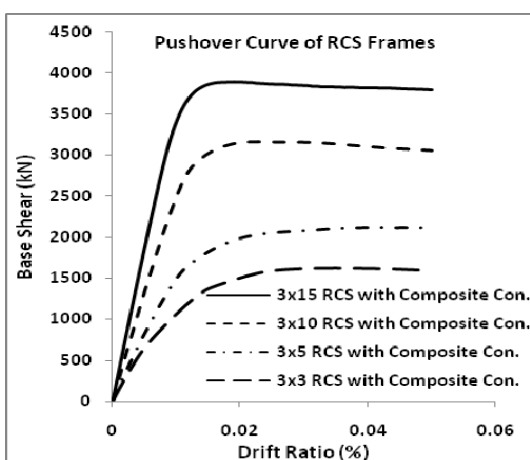


Fig. 2. Capacity curves of RCS frames

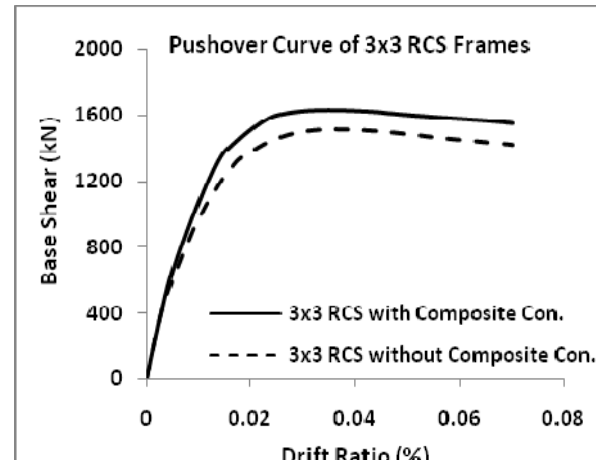


Fig. 3. Effect of joint behavior on overall response of 3 story frame

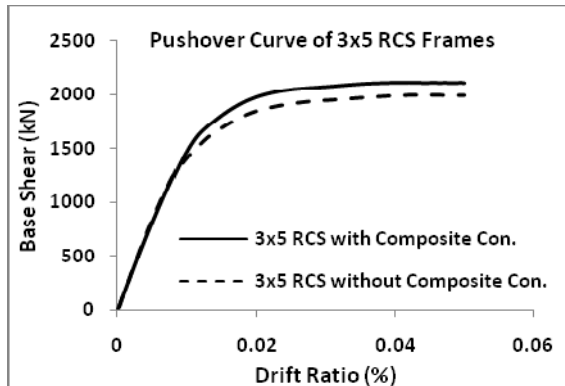


Fig. 4. Effect of joint behavior on overall response of 5 story frame

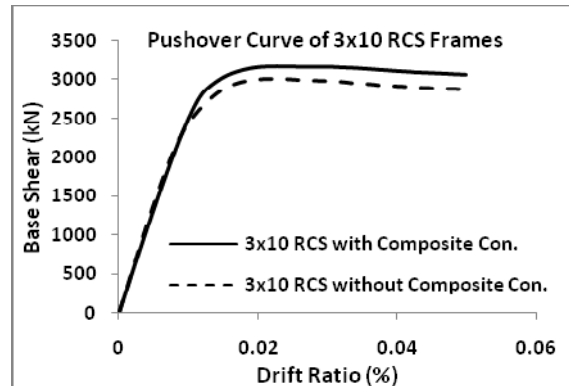


Fig. 5. Effect of joint behavior on overall response of 10 story frame

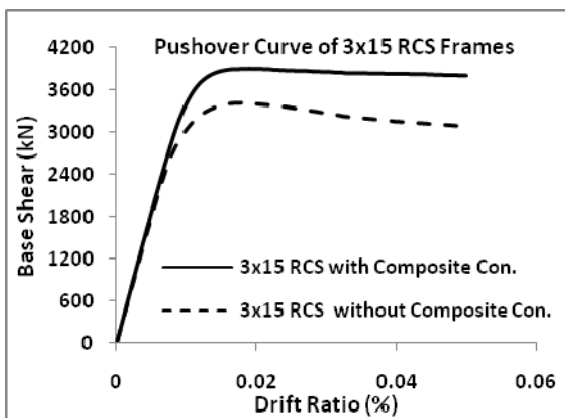


Fig. 6. Effect of joint behavior on overall response of 15 story frame

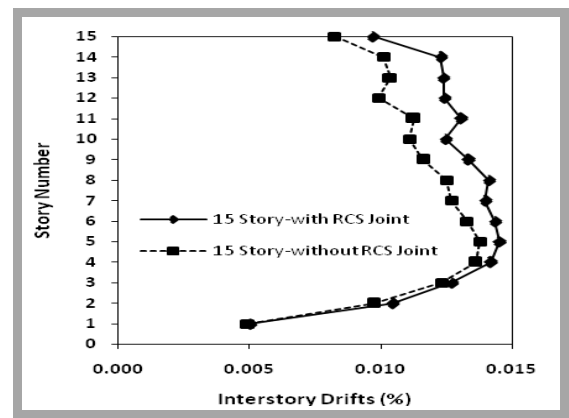


Fig. 7. Effect of joint behavior on story drift of 15 story frame

3.3. Effect of RCS joint Behavior on story drifts

In order to evaluate effect of joint behavior on story drifts, Loma Prieta record is selected and scaled to represent a probability of exceedance of 10%/50 years to compare drifts. The result of 15 story frame is shown in Fig. 7. As can be observed, the maximum interstory drift increases when connection flexibility is considered in the analysis that is an increase of up to 20%. Consequently, RCS joints lead to higher larger drifts due to flexibility of RCS joints.

4. Conclusions

In this paper, numerical modeling of RCS frames and effect of joint behavior on the overall response of these frames is investigated. Results of pushover analysis reveal that RCS frames show higher load capacity and better seismic behavior when RCS joint modeling is considered in the analysis. In fact, behavior of RCS joints escalates the ductility and yield resistance of RCS frames. From the analytical point of view, it is also concluded that joint deformations in RCS frames could eventuate in significant increase in maximum inter-story drift. Consequently, connection flexibility has remarkable influence on seismic response and should be considered in the analyses of these hybrid systems.

5. References

- [1] Kanno, R., "Strength, Deformation, and Seismic Resistance of Joints between Steel Beams and Reinforced Concrete Columns", PhD thesis, Cornell University, US, 1993.
- [2] Sheikh, T. M., Yura, J. A., Jirsa, J. O., "Moment Connections between Steel Beams and Concrete Columns", PMFSEL Report No. 87-4, University of Texas at Austin, Austin, US, 1988.
- [3] Cordova, P. P., Deierlein, G. G., "Validation of the Seismic Performance of Composite RCS Frames: Full-Scale Testing, Analytical Modeling, and Seismic Design", PhD thesis, Department of Civil and Environmental Engineering, Stanford University, US, 2005.

